

大阪大学大学院 学生員 福原 輝幸  
大阪大学工学部 正員 室田 明

### 1. はじめに

開水路流れにおける大規模乱流運動を理解する上において、流下方向流速の横方向分布に見られる非一様性を調べることは必須と考えられる。著者等は前報<sup>1)</sup>で、この流れの非一様性を表現し得る3つの因子、(i) 高速流体と低速流体の速度差 (ii) 低速端の間隔 (iii) 高速端と低速端の数、の水深方向変化についてそれぞれ検討を行った。本報告は上記の3つの因子の中でも(i)の因子に関連するが、未だ議論されていない高速流体と低速流体の流速に着目して、その諸特性を明らかにしようとするものである。なお、実験方法の選定に際して、両流体の流速が点計測では抽出し難いことから、今回は水素気泡法を用いて情報の収集につとめた。

実験諸元は表-1に示す通りであり、Case Aを滑面、Case Bを粗面と区別する。なお、実験および粗度に関する詳細は既報<sup>2)</sup>のとおりである。

また、ここに高速流体の流速  $U_H$  と低速流体の流速  $U_L$  はそれぞれ高速端と低速端における流速のアンサンブル平均値を表わす。

### 2. 実験結果およびその考察

図-1は壁法則の表示に従って Case A-1 の流速  $U_H$ ,  $U_L$  および局所平均流速  $\bar{U}$  を整理したものである。同図より、 $U_H$ ,  $U_L$  ともほぼ対数則に従っていることがわかる。

図-2は  $U_H$ ,  $U_L$  の水深( $y$ )方向変化を表わす方法として、 $\bar{U}$  で無次元化した  $U_H/\bar{U}$  および  $U_L/\bar{U}$  と相対水深  $y/H$  の関係を示したものである。以下に、同図の定性的な特徴を列挙する。1) 路床に近くにつれて、 $U_H$ ,  $U_L$  とも平均流速からのずれは大きくなるが、特に  $y/H < 0.2 \sim 0.3$  ( $yU_*/\bar{U}$  で整理した場合には  $100 \sim 150$  以下) で、この傾向は顕著となる。これより、流れは路床に向うにつれて次第に非一様的となることが推察される。2) 滑面、粗面にかかわらず  $U_H$  の方が  $U_L$  に比べて  $\bar{U}$  に接近しており、特に水面近傍でこの傾向は著しい。従って、高速流体は水面付近ではほぼ平均流的な性質をもつと推察される。3)  $U_H$ ,  $U_L$  とも粗面の方が滑面に比べて分布は外側に位置しており、粗度設置に伴う流れの非一様性の増大が認められる。<sup>3)</sup>

さらに、 $U_H/\bar{U}$ ,  $U_L/\bar{U}$  の値の水深方向変化をよりわかりやすく観るために、縦軸に  $y/H$  の対数をとって表わしたのが図-3である。以下に、同図の特徴を列挙する。

1) 滑面の場合、図中の回帰直線で示すように、 $U_L$  の勾

表-1 実験諸元

CASE	H	$U_m$	$U_*$	Re	Fr
A-1	4.97	5.03	0.32	2900	0.072
A-2	4.99	10.02	0.64	5700	0.143
A-3	7.01	9.99	0.61	8000	0.121
A-4	6.98	13.55	0.82	10800	0.164
A-5	10.02	9.98	0.59	11400	0.101
A-6	6.24	10.03	0.62	7100	0.128
B-1	5.01	4.99	0.80	2900	0.071
B-2	4.96	10.08	1.60	5700	0.145
B-3	7.02	9.97	1.53	8000	0.120
B-4	7.01	13.50	1.99	10800	0.163
B-5	9.98	10.02	1.46	11400	0.101
B-6	6.23	10.05	1.50	7100	0.129

c-g-s unit

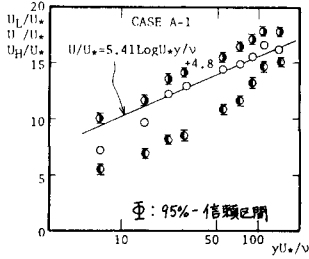


図-1  $U_H$ ,  $U_L$  および  $\bar{U}$  の水深分布

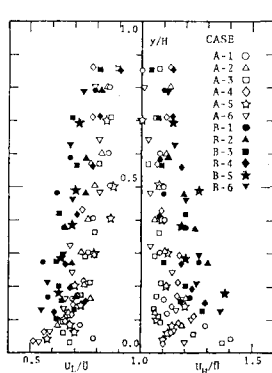


図-2  $U_H/U$  および  $U_L/U$  と  $y/H$  の関係

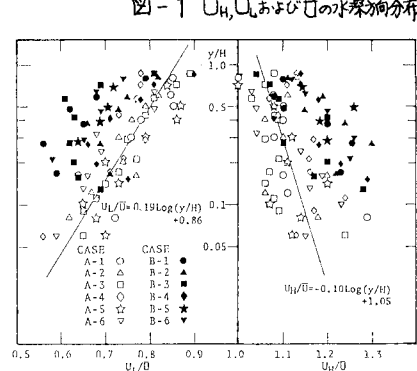


図-3  $U_H/U$  および  $U_L/U$  と  $y/H$  の関係

配が  $U_H$  の勾配に比べて大きく、低速流体は高速流体に比べて断面内にわたる速度変化が大きい。2) 例えば、滑面の場合、路床付近 ( $y/H = 0.06 \sim 0.1$ )において  $U_H/U_L = 1.1 \sim 1.25$ ,  $U_L/U_0 = 0.6 \sim 0.75$ 、一方水面付近 ( $y/H = 0.7 \sim 0.9$ )では  $U_H/U_L \approx 1.0 \sim 1.1$ ,  $U_L/U_0 \approx 0.75 \sim 0.9$ となる。

3) 粗面の場合、路床付近 ( $y/H = 0.15 \sim 0.2$ )において  $U_H/U_L \approx 1.15 \sim 1.3$ ,  $U_L/U_0 = 0.6 \sim 0.75$ 、一方水面付近 ( $y/H = 0.7 \sim 0.9$ )で  $U_H/U_L \approx 1.05 \sim 1.15$ ,  $U_L/U_0 = 0.7 \sim 0.85$ となる。

次に、高速流体と低速流体の性質を理解するための一つの試みとして、両流体の速度欠損の状態を調べた。その結果が図-4であり、横軸には  $U_H/U_{H\max}$ ,  $U_L/U_{L\max}$  をそれぞれ最大流速  $U_{H\max}$ ,  $U_{L\max}$  で無次元化した  $U_H/U_{H\max}$  および  $U_L/U_{L\max}$  を、縦軸には  $y/H$  を選んでいる。同図中の回帰曲線から明らかなように、路床に近づくに従って、 $y/H$  の変化に伴う横軸の値の変化は  $U_H$  よりも  $U_L$  の方が大きくなることがわかる。すなわち、両流体の速度欠損の度合いは相対的に低速流体の方が大きいことがうかがえる。これは、高速流体に比べて低速流体の方が壁面の存在に伴う粘性の抵抗、あるいは内部剪断の抵抗を大きく受けることにより、流下方向の流動に対する抑制が低速流体の方で強まるためと推測される。

図-5は高速流体と低速流体の流速比  $U_H/U_L$  の水深方向変化を示す。以下に、同図の特徴を列挙する。1) 滑面の場合、分布は図中の回帰曲線に従っており、路床近傍 ( $y/H = 0.06 \sim 0.1$ )で  $U_H/U_L = 1.8 \sim 2.2$ 、水面付近 ( $y/H = 0.7 \sim 0.9$ )で  $U_H/U_L = 1.2 \sim 1.4$  の値をとる。また、図-2からも類推されるように  $U_H/U_L$  の変化は  $y/H < 0.2 \sim 0.3$  で著しい。2) 粗面の場合、 $U_H/U_L$  は滑面より断面内にわたり大きく、路床近傍 ( $y/H = 0.15 \sim 0.2$ )で  $U_H/U_L = 1.7 \sim 2.0$ 、水面付近で  $U_H/U_L = 1.25 \sim 1.6$  の値をとる。また、図に記した点はほぼ直線的に分布しているようであるが、路床近傍では流れが非常に複雑であり、 $U_H/U_L$  の測定が困難なため、分布形状から滑面との比較は難しい。しかしながら、路床近傍を除けば  $U_H/U_L$  の値に大小はあるものの、滑面と粗面で分布形状にそれほど有意な差異は認められない。

最後に、高速流体と低速流体の速度差  $U_s$  を主流速  $U_0$  で無次元化した  $U_s/U_0$  に関する水理量を調べた。ここに、 $U_s$  は流れの非一様性の明瞭な領域における平均的な速度差として、 $y/H \leq 0.3$  でのアンサンブル平均値を選んだ。その結果、 $U_s/U_0$  は断面平均流速と水深を用いたレイノルズ数  $R_e$  では一定の傾向は見い出し難く、図-6に示すように摩擦速度  $U_*$  を用いたレイノルズ数  $R_{e*}$  と関連のあることがわかった。なお、その他に水路の形状比についても検討したが、標本の数が少ないので、 $U_s/U_0$  と関連があるかどうかは判断し難い。また、図中の点にはばらつきのある原因として、 $R_e$  に関係なく  $y/H < 0.3$  での  $U_s$  を採用したことによるとも考えられ、さらに検討するつもりである。

- 1) 室田 明・福原輝幸・古川豊繁・高橋洋；昭和55年度関西支部年講概要
- 2) 室田 明・福原輝幸；第24回水理講演会論文集

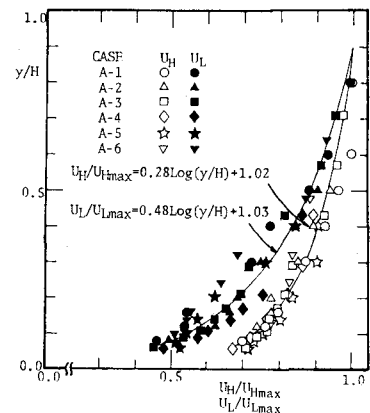


図-4  $U_H/U_{H\max}$  }と  $y/H$  の関係  
 $U_L/U_{L\max}$

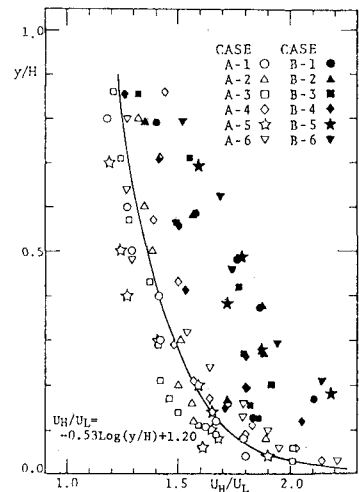


図-5  $U_H/U_L$  と  $y/H$  の関係

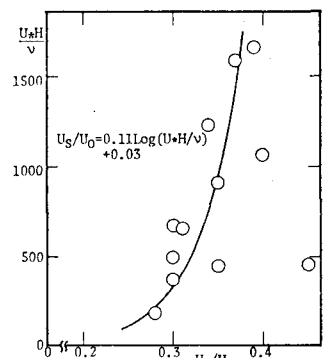


図-6  $U_s/U_0$  と  $U_*^H/V$  の関係